

Nombre del Producto: Anticuerpo policlonal de conejo Jagged1**Nº de Catálogo: APRab12813**

Solo para uso en investigación.

Resumen

Descripción	Anticuerpo policlonal de conejo
Huésped	Conejo
Aplicación	WB,IHC,ICC/IF,ELISA
Reactividad	Humano, Ratón, Rata
Conjugación	No conjugado
Modificación	Sin modificar
Isotipo	IgG
Clonalidad	Policlonal
Formato	Líquido
Concentración	1 mg/ml
Almacenamiento	Hacer alícuotas y almacenar a -20°C (válido por 12 meses). Evitar ciclos de congelación/descongelación.
Envío	Bolsas de hielo
Tampon	Líquido en PBS que contiene 50% de glicerol, 0,5% de proteína protectora y 0,02% de conservante de nuevo tipo N.
Purificación	Purificación por afinidad

Aplicación

Relación de Dilución	WB 1:500-1:2000,IHC 1:100-1:300,ICC/IF 1:50-1:200,ELISA 1:10000-1:20000
Peso Molecular	140kDa

Información del Antígeno

Nombre del Gen	JAG1
Nombres Alternativos	JAG1; JAGL1; Protein jagged-1; Jagged1; hJ1; CD339
ID del Gen	182.0
ID SwissProt	P78504
Inmunógeno	El antisuero se produjo contra el péptido sintetizado derivado de la región interna del gen JAG1 humano. Rango de AA: 981-1030.

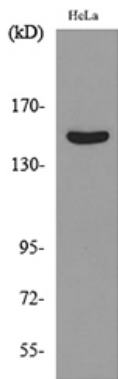
Antecedentes

La proteína jagged 1, codificada por JAG1, es el homólogo humano de la proteína jagged de Drosophila. La proteína jagged 1 humana es el ligando del receptor Notch 1, este último homólogo humano del receptor Notch de Drosophila. Las mutaciones que alteran la proteína jagged 1 causan el síndrome de Alagille. Se ha demostrado que la señalización de Jagged 1 a través de Notch 1 también desempeña un papel en la hematopoyesis. [Proporcionado por RefSeq, julio de 2008], Etapa de desarrollo: Se expresa en embriones de 32 a 52 días en el tracto de salida cardíaco distal y la arteria pulmonar, arterias mayores, vena porta, vesícula óptica, otocisto, arcos branquiales, metanefros, páncreas, mesocardio, alrededor de las ramas bronquiales mayores y en el tubo neural. Enfermedad: Los defectos en JAG1 son causa de la tetralogía de Fallot (TOF) [MIM:187500]. La TOF es una cardiopatía congénita que consiste en estenosis pulmonar, comunicación interventricular, dextroposición de la aorta (la aorta se encuentra a la derecha en lugar de a la izquierda) e hipertrofia del ventrículo derecho. Esta afección da como resultado un bebé de color azul al nacer debido a una oxigenación inadecuada. La corrección quirúrgica es urgente. Enfermedad: Los defectos en JAG1 son la causa del síndrome de Alagille tipo 1 (ALGS1) [MIM:118450]. El síndrome de Alagille es un trastorno multisistémico autosómico dominante que se define clínicamente por la insuficiencia de la vía biliar hepática y colestasis, asociadas con manifestaciones cardíacas, esqueléticas y oftalmológicas. Presenta rasgos faciales característicos y afectación clínica menos frecuente de los sistemas renal y vascular. Enfermedad: La mutación Asp-274 presenta fugas. Este alelo produce dos poblaciones de proteínas. Una población presenta una glucosilación anormal y se retiene intracelularmente en lugar de ser transportada a la superficie celular. Una segunda población está normalmente glicosilada y se transporta a la superficie celular, donde puede señalizar al receptor Notch. La proteína Asp-274 es sensible a la temperatura, y a temperaturas más altas se producen más moléculas anormalmente glicosiladas (y no funcionales). Por lo tanto, los portadores de esta mutación tienen más del 50% pero menos del 100% de la concentración normal de moléculas en la superficie celular. El fenotipo cardíaco específico asociado con esta mutación sugiere que el corazón en desarrollo es más sensible que el hígado en desarrollo a una dosis reducida de la proteína JAG1. Función: Ligando para múltiples receptores Notch e involucrado en la mediación de la señalización de Notch. Puede estar involucrado en las decisiones sobre el destino celular durante la hematopoyesis. Parece estar involucrado en las etapas tempranas y tardías del desarrollo cardiovascular en mamíferos. Inhibe la diferenciación de mioblastos (por similitud). Potencia la angiogénesis inducida por el factor de crecimiento de fibroblastos (in vitro). Similitud: Contiene un dominio DSL. Similitud: Contiene 15 dominios similares a EGF. Subunidad: Interactúa con NOTCH1, NOTCH2 y NOTCH3. Especificidad tisular: Ampliamente expresado en tejidos adultos y fetales. En el epitelio cervical, se expresa en células de reserva subcolumnares indiferenciadas y metaplasia escamosa. Su expresión aumenta en el carcinoma escamocelular cervical. Se expresa en la línea celular HS-27a de médula ósea, que contribuye al mantenimiento a largo plazo de células progenitoras inmaduras.

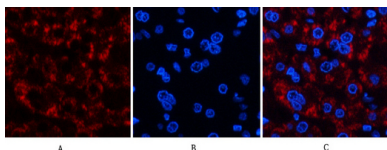
Área de Investigación

Muesca;

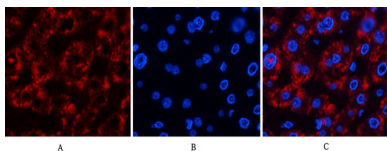
Datos de Imagen



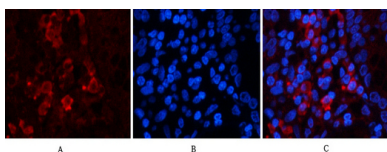
Análisis de transferencia Western del lisado de células HeLa, utilizando el anticuerpo JAG1.



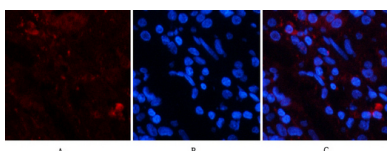
Análisis de inmunofluorescencia de tejido hepático humano. 1. El anticuerpo policlonal Jagged1 (rojo) se diluyó a 1:200 (4 °C, durante la noche). 2. El anticuerpo secundario marcado con Cy3 se diluyó a 1:300 (temperatura ambiente, 50 min). 3. Imagen B: DAPI (azul) 10 min. Imagen A: Objetivo. Imagen B: DAPI. Imagen C: Combinación de A+B.



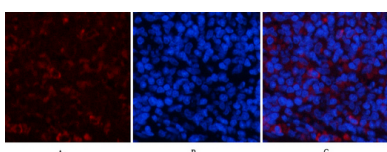
Análisis de inmunofluorescencia de tejido hepático humano. 1. El anticuerpo policlonal Jagged1 (rojo) se diluyó a 1:200 (4 °C, durante la noche). 2. El anticuerpo secundario marcado con Cy3 se diluyó a 1:300 (temperatura ambiente, 50 min). 3. Imagen B: DAPI (azul) 10 min. Imagen A: Objetivo. Imagen B: DAPI. Imagen C: Combinación de A+B.



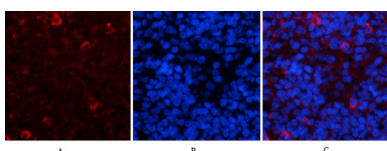
Análisis de inmunofluorescencia de tejido estomacal humano. 1. El anticuerpo policlonal Jagged1 (rojo) se diluyó a 1:200 (4 °C, durante la noche). 2. El anticuerpo secundario marcado con Cy3 se diluyó a 1:300 (temperatura ambiente, 50 min). 3. Imagen B: DAPI (azul) 10 min. Imagen A: Objetivo. Imagen B: DAPI. Imagen C: Fusión de A+B.



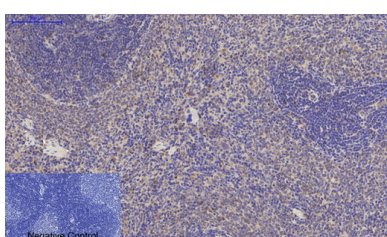
Análisis de inmunofluorescencia de tejido estomacal humano. 1. El anticuerpo policlonal Jagged1 (rojo) se diluyó a 1:200 (4 °C, durante la noche). 2. El anticuerpo secundario marcado con Cy3 se diluyó a 1:300 (temperatura ambiente, 50 min). 3. Imagen B: DAPI (azul) 10 min. Imagen A: Objetivo. Imagen B: DAPI. Imagen C: Fusión de A+B.



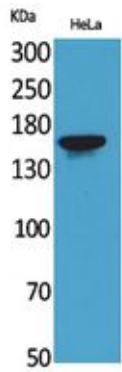
Análisis de inmunofluorescencia de tejido de bazo de rata. 1. El anticuerpo policlonal Jagged1 (rojo) se diluyó a 1:200 (4 °C, durante la noche). 2. El anticuerpo secundario marcado con Cy3 se diluyó a 1:300 (temperatura ambiente, 50 min). 3. Imagen B: DAPI (azul) 10 min. Imagen A: Objetivo. Imagen B: DAPI. Imagen C: Fusión de A+B.



Análisis de inmunofluorescencia de tejido de bazo de rata. 1. El anticuerpo policlonal Jagged1 (rojo) se diluyó a 1:200 (4 °C, durante la noche). 2. El anticuerpo secundario marcado con Cy3 se diluyó a 1:300 (temperatura ambiente, 50 min). 3. Imagen B: DAPI (azul) 10 min. Imagen A: Objetivo. Imagen B: DAPI. Imagen C: Fusión de A+B.



Análisis inmunohistoquímico de tejido de bazo de rata incluido en parafina. 1. El anticuerpo policlonal Jagged1 se diluyó a 1:200 (4 °C, durante la noche). 2. Se utilizó citrato de sodio a pH 6,0 para la recuperación de anticuerpos (>98 °C, 20 min). 3. El anticuerpo secundario se diluyó a 1:200 (temperatura ambiente, 30 min). El control negativo se utilizó solo con el anticuerpo secundario.



Análisis Western Blot de células HeLa usando el anticuerpo policlonal Jagged1. El anticuerpo secundario se diluyó a 1:20000.